

Fig. 1

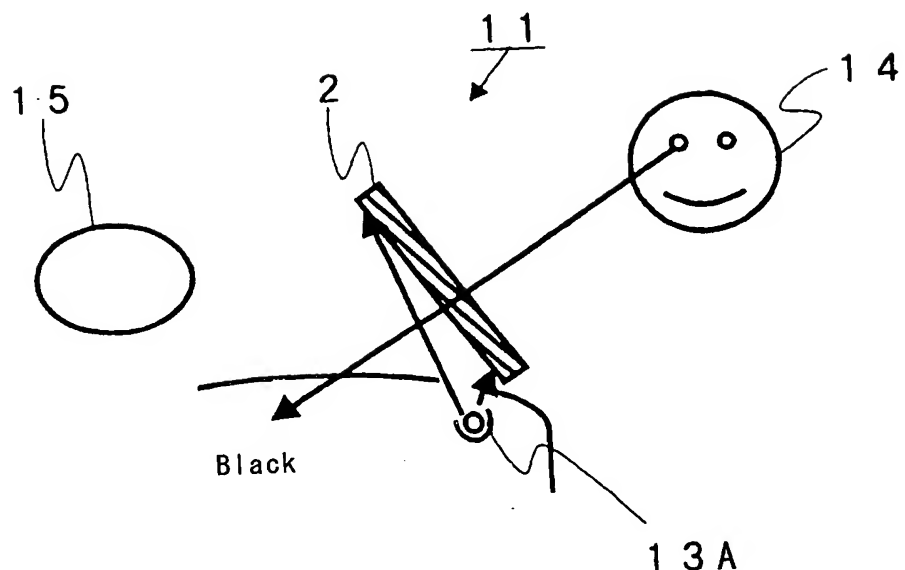
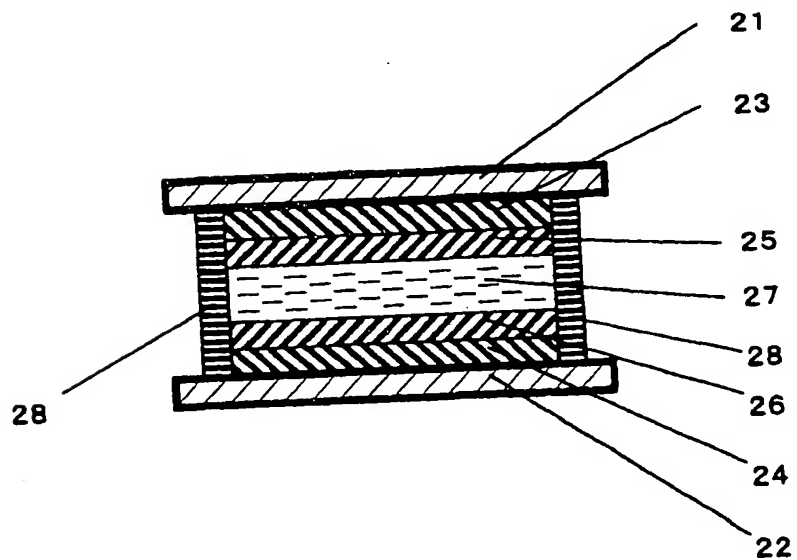


Fig. 2



Example of curable compounds usable for the present invention

Fig. 3 (a)

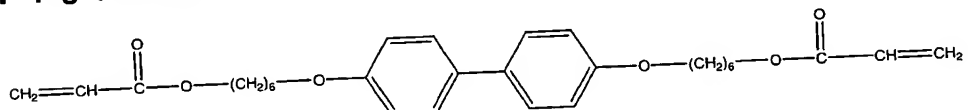


Fig. 3 (b)

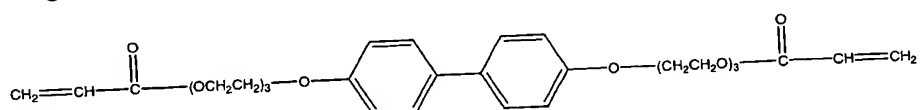


Fig. 3 (c)

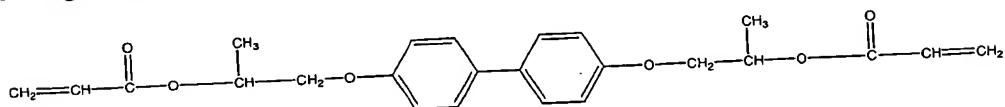


Fig. 3 (d)

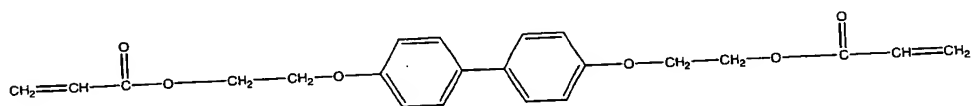


Fig. 4

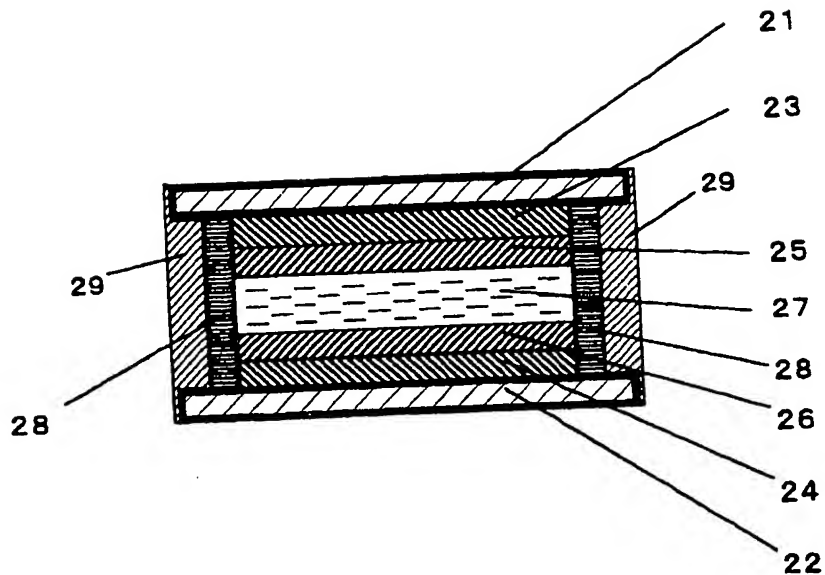


Fig. 5

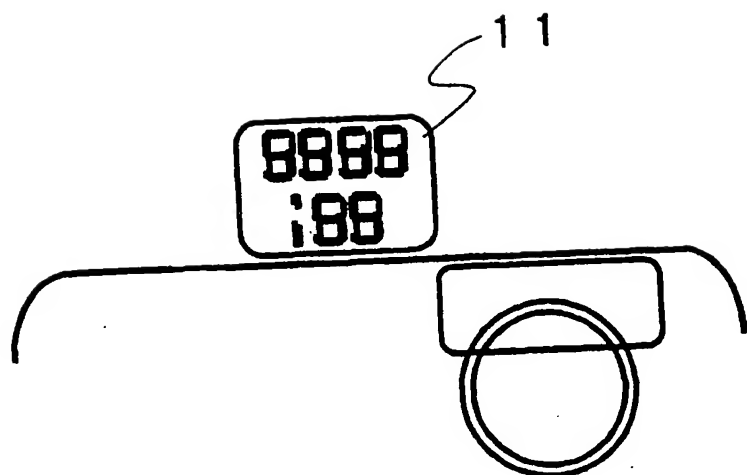


Fig. 6

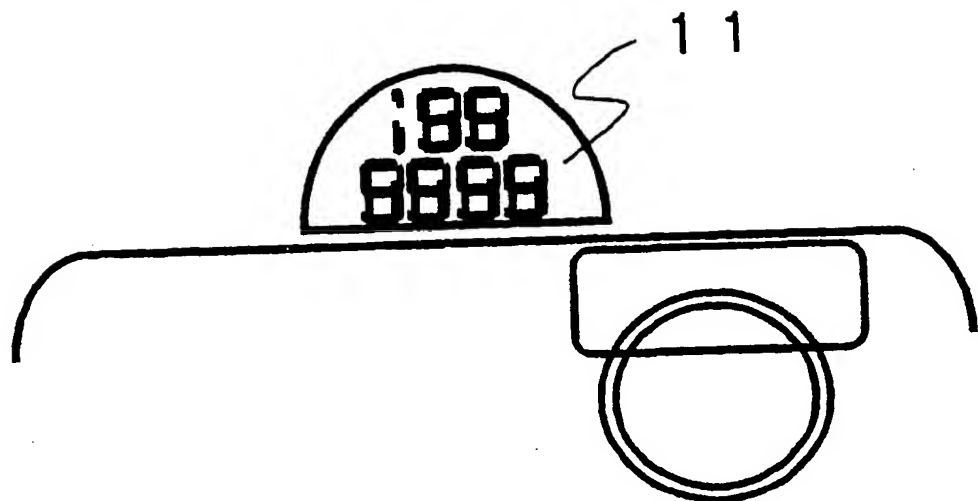


Fig. 7

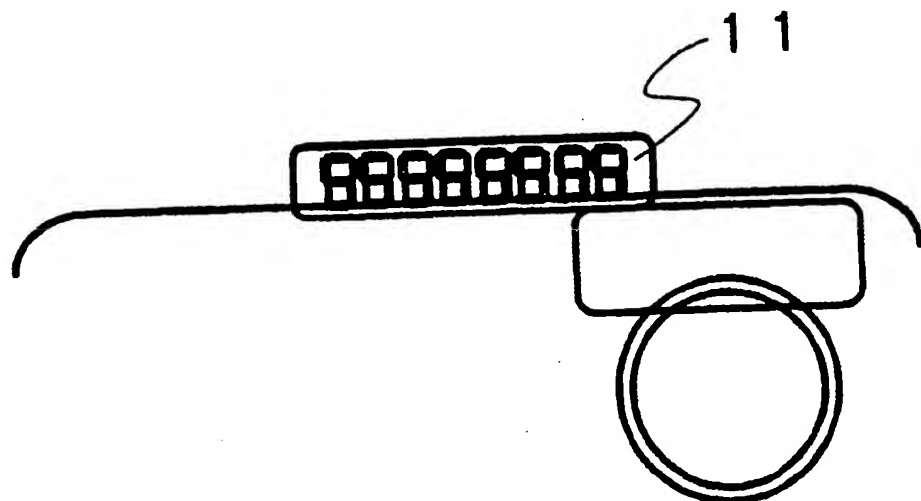


Fig. 8

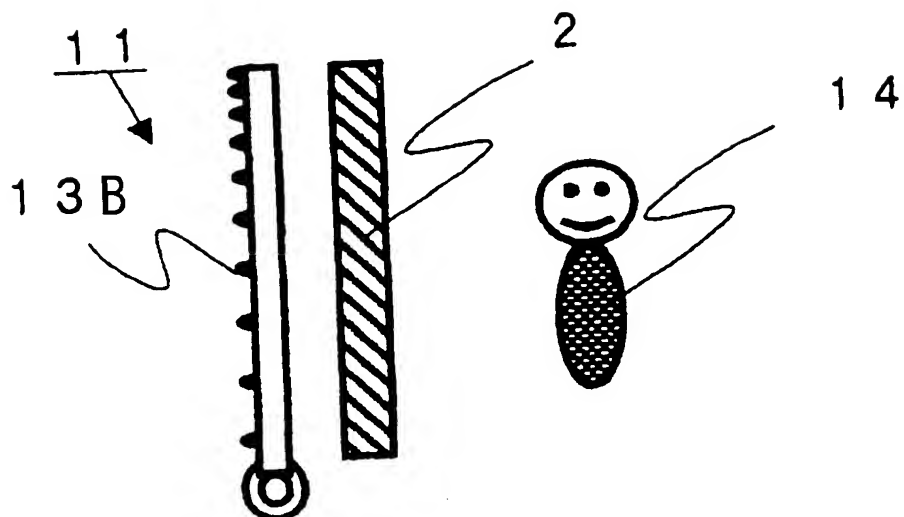


Fig. 9

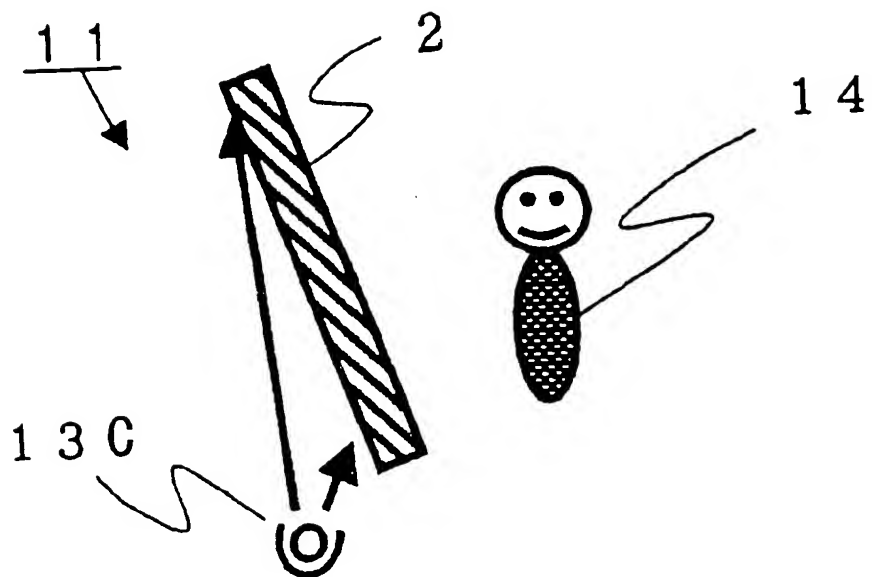


Fig. 10

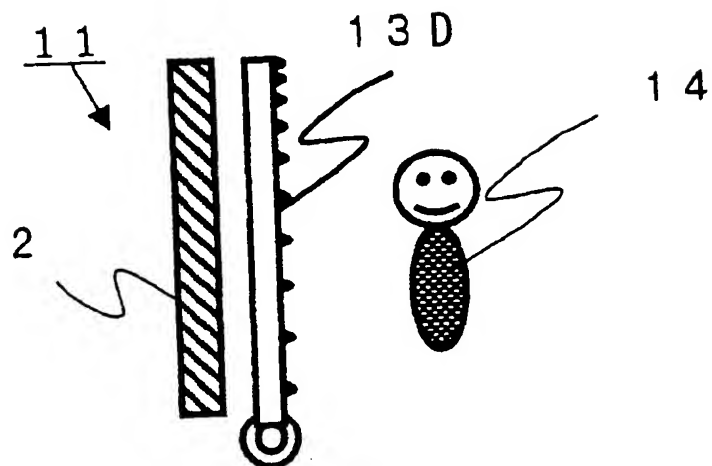


Fig. 11

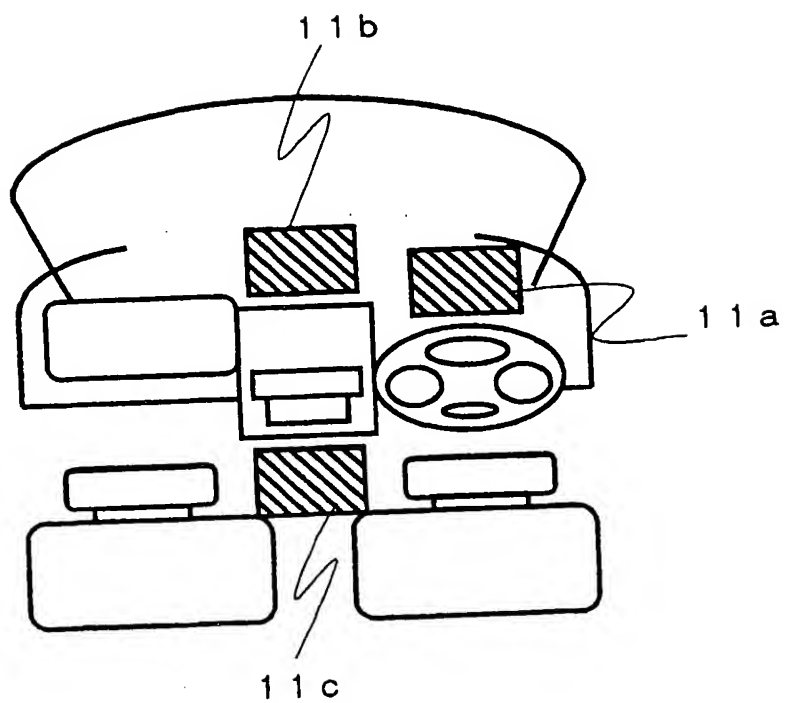


Fig. 12

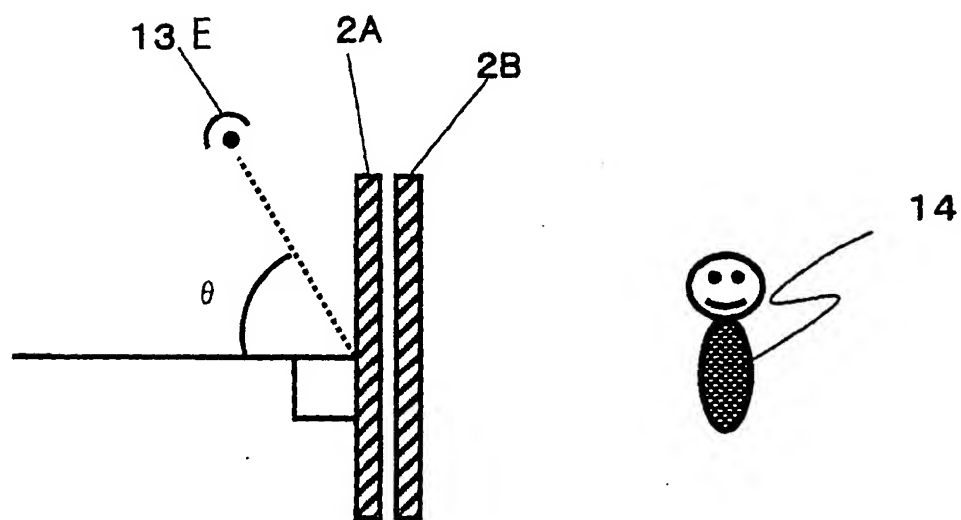


Fig. 13 (a)

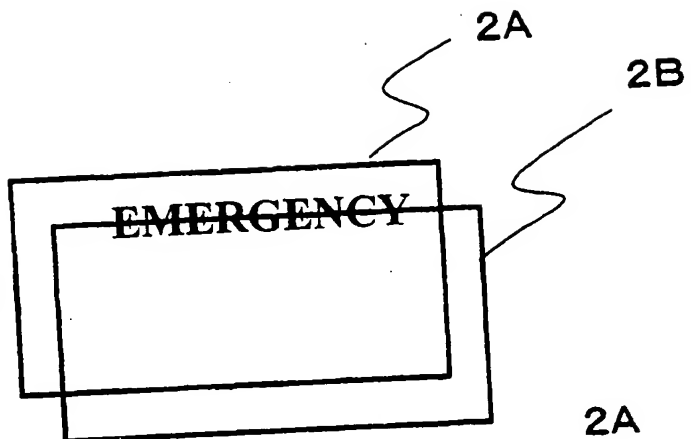


Fig. 13 (b)

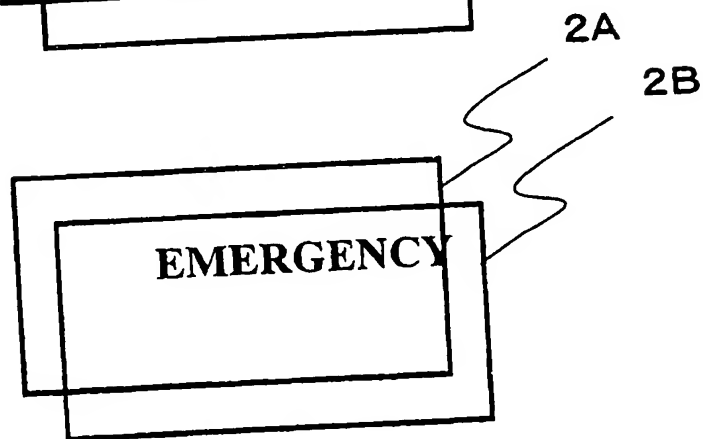


Fig. 13 (c)

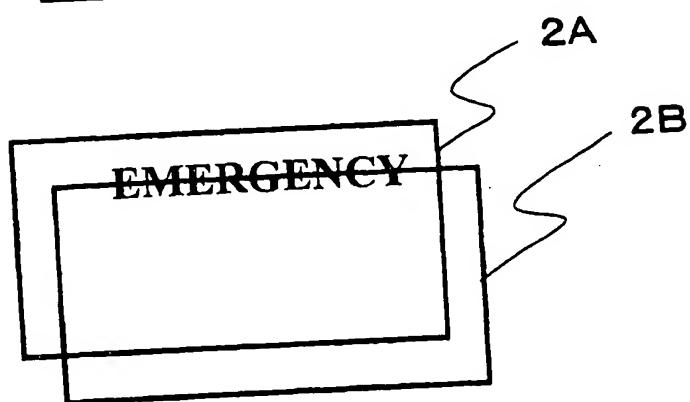


Fig. 14

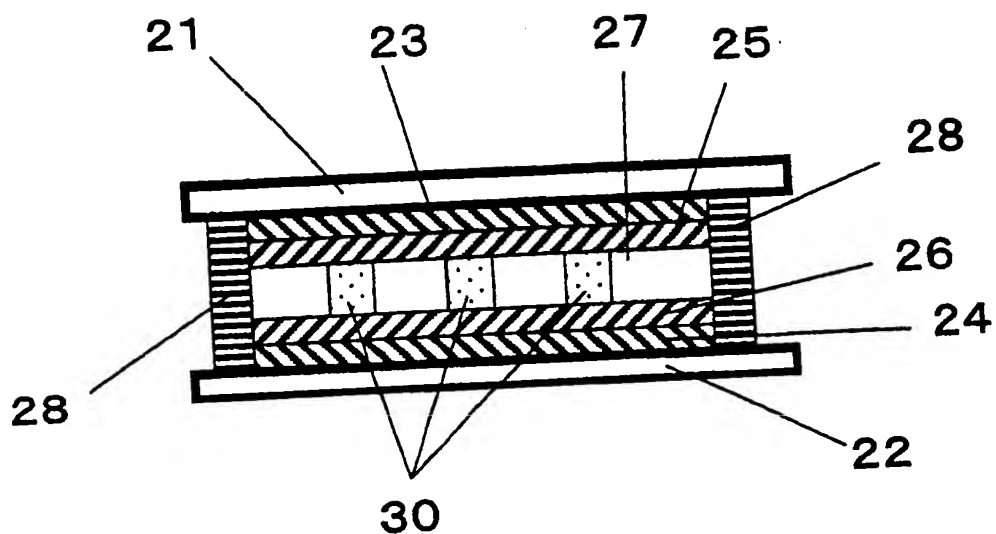


Fig. 15

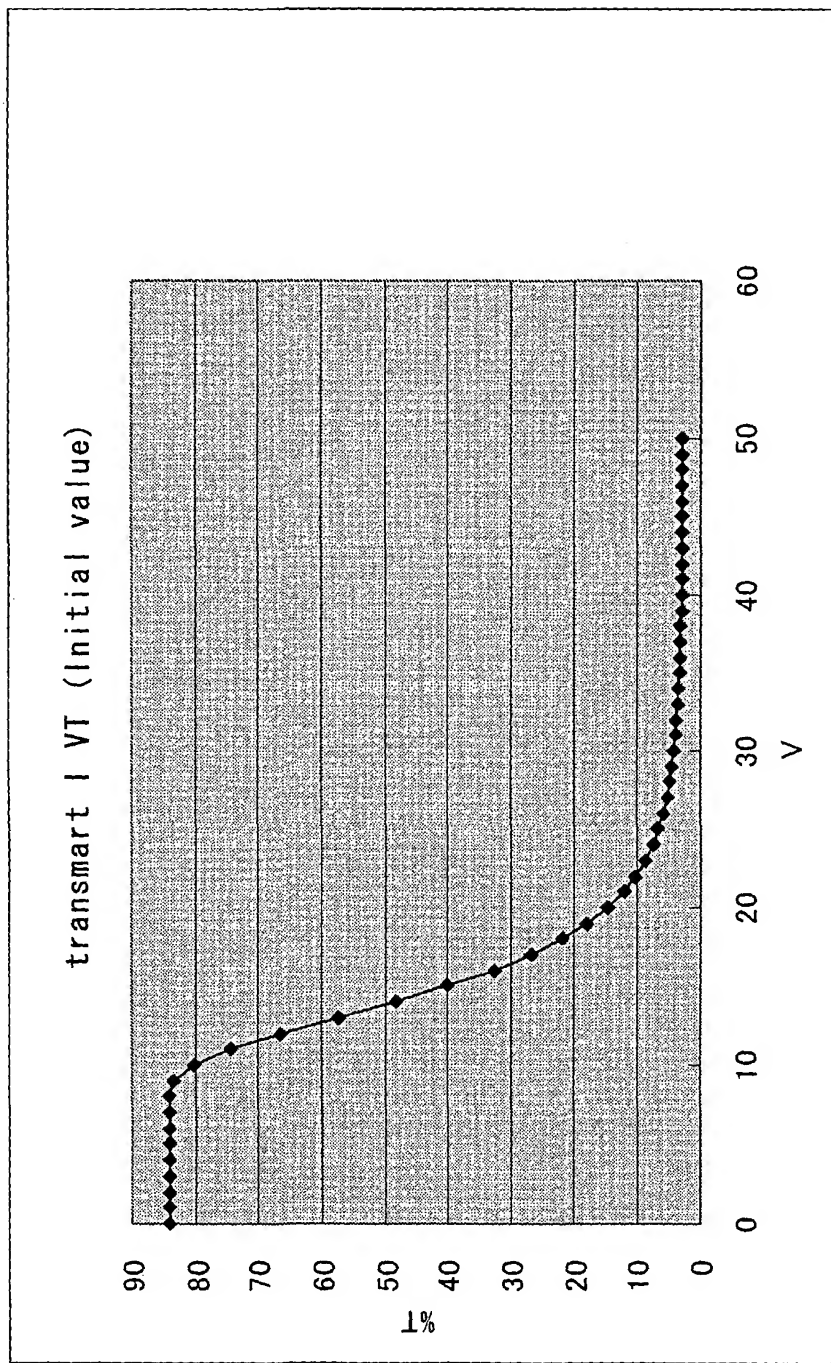


Fig. 16

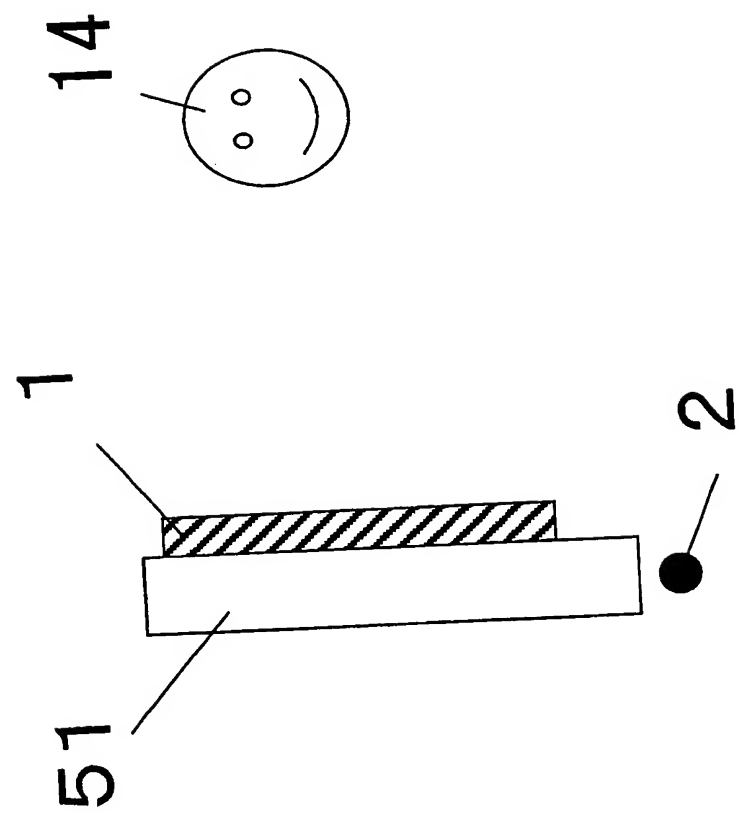


Fig. 17

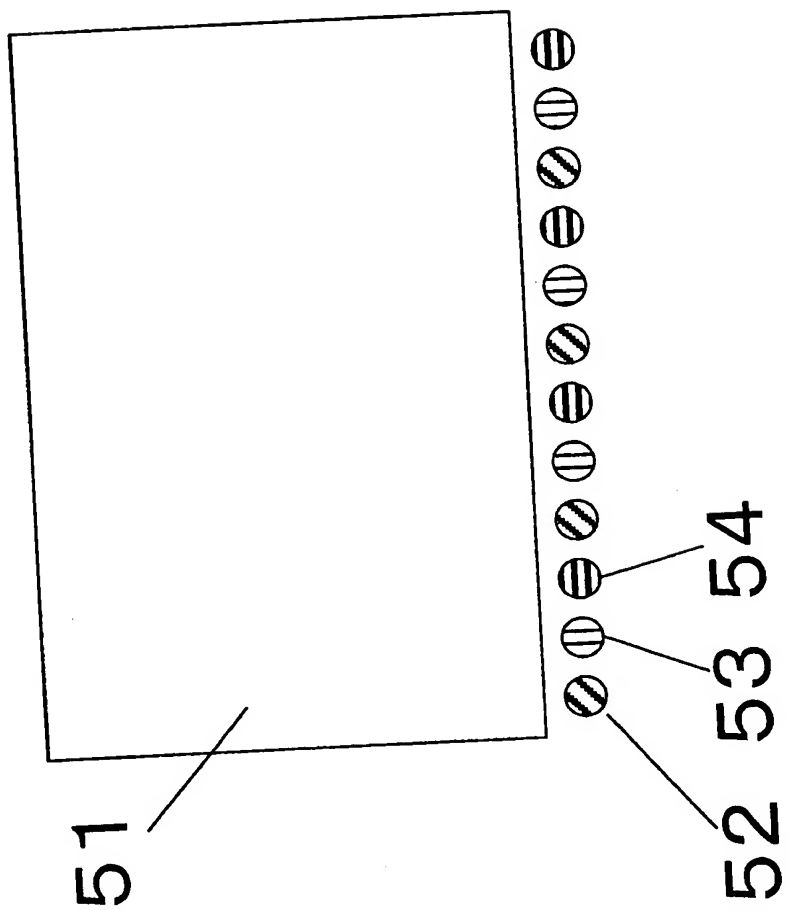
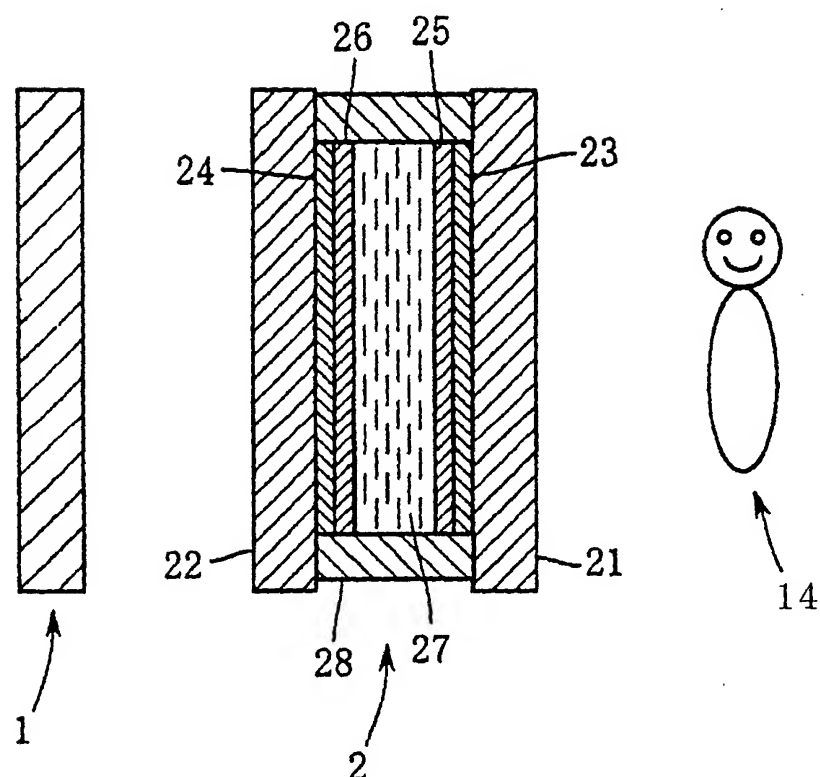
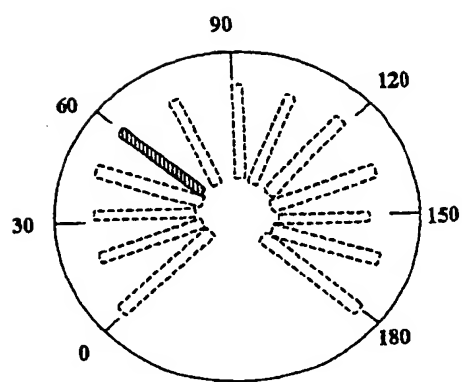
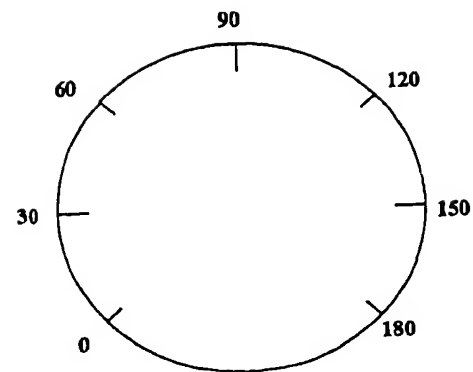


Fig. 18

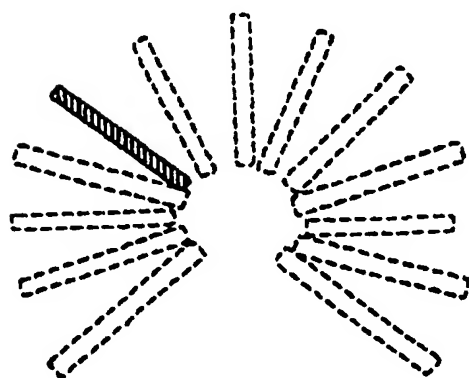




**Fig. 19 (a)**



**Fig. 19 (b)**



**Fig. 19 (c)**

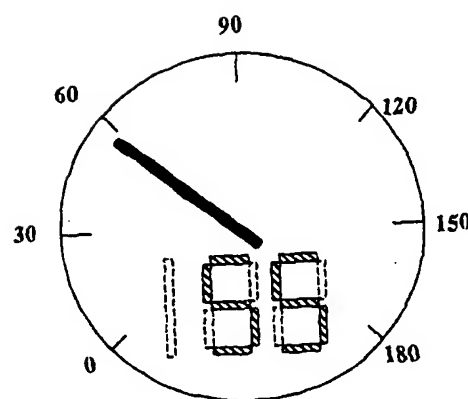


Fig. 20 (a)

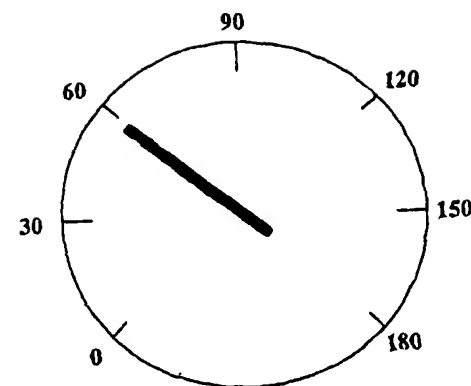


Fig. 20 (b)

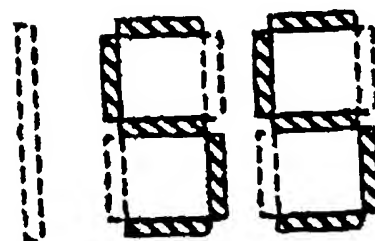
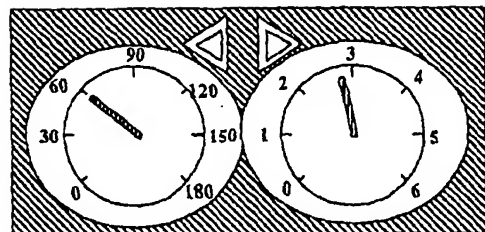
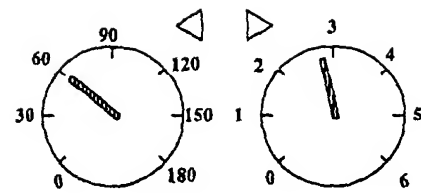


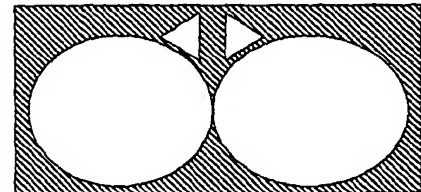
Fig. 20 (c)



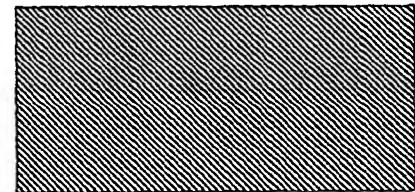
**F i g . 21 (a)**



**F i g . 21 (b)**

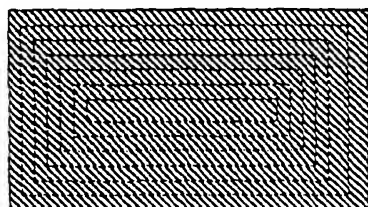


**F i g . 21 (c)**

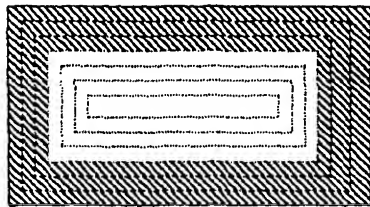


**F i g . 21 (d)**

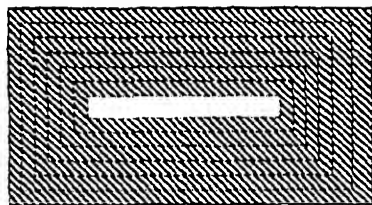
**Fig. 22 (a)**



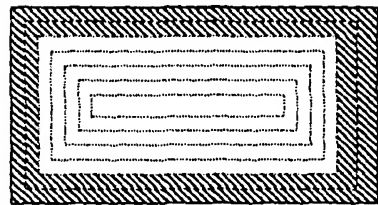
**Fig. 22 (e)**



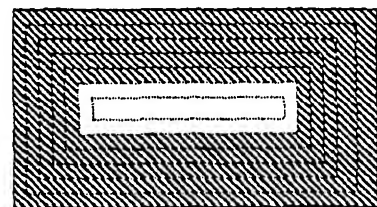
**Fig. 22 (b)**



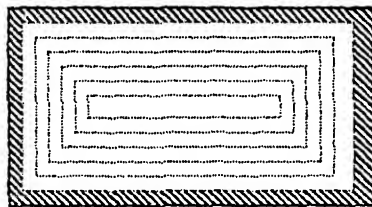
**Fig. 22 (f)**



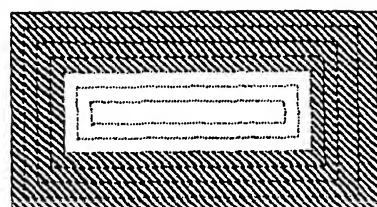
**Fig. 22 (c)**



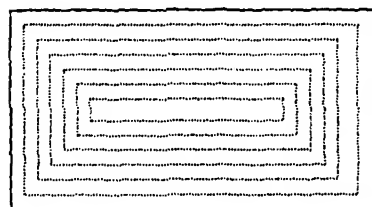
**Fig. 22 (g)**



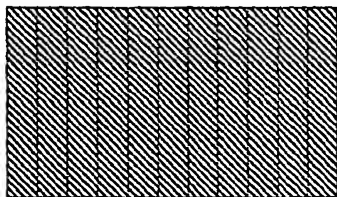
**Fig. 22 (d)**



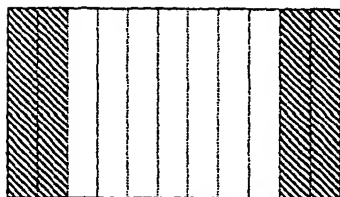
**Fig. 22 (h)**



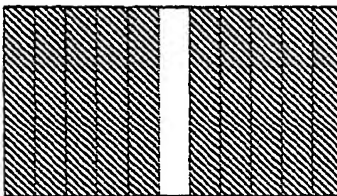
**Fig. 23 (a)**



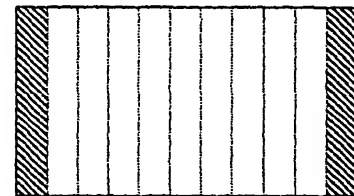
**Fig. 23 (e)**



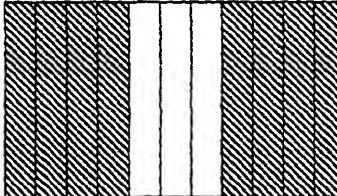
**Fig. 23 (b)**



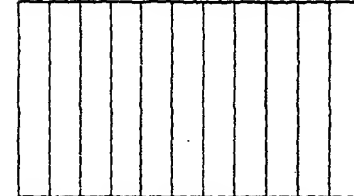
**Fig. 23 (f)**



**Fig. 23 (c)**



**Fig. 23 (g)**



**Fig. 23 (d)**

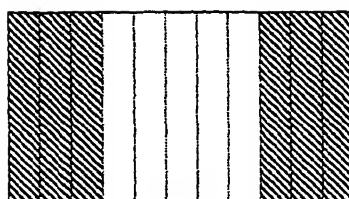


Fig. 24

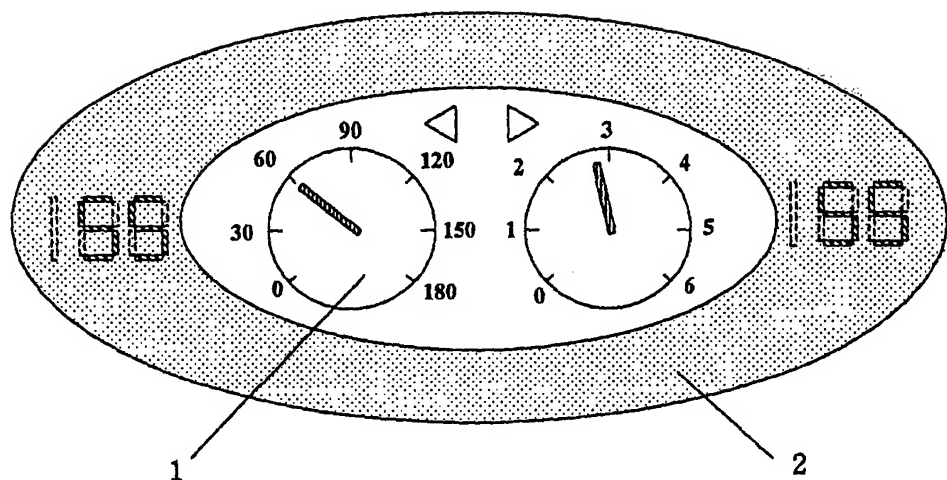


Fig. 25

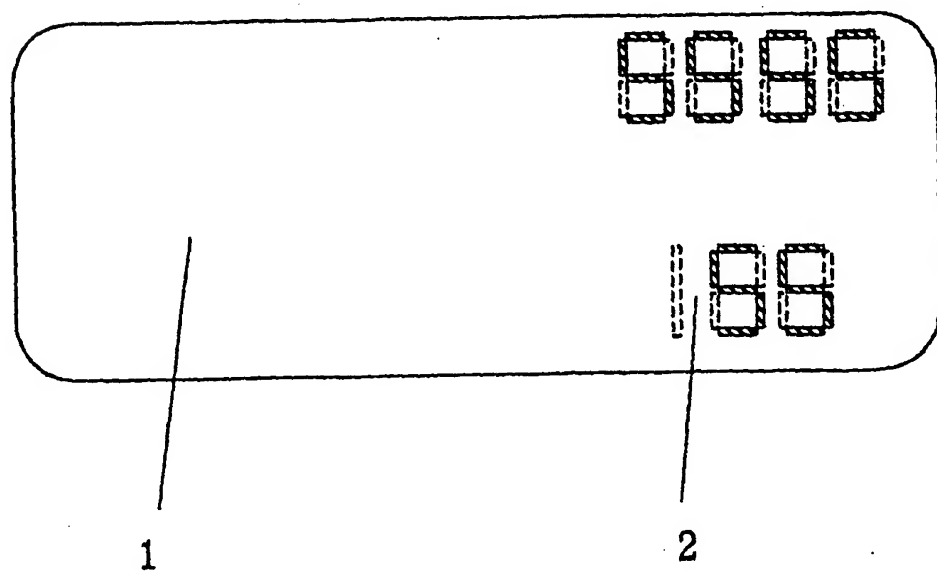


Fig. 26

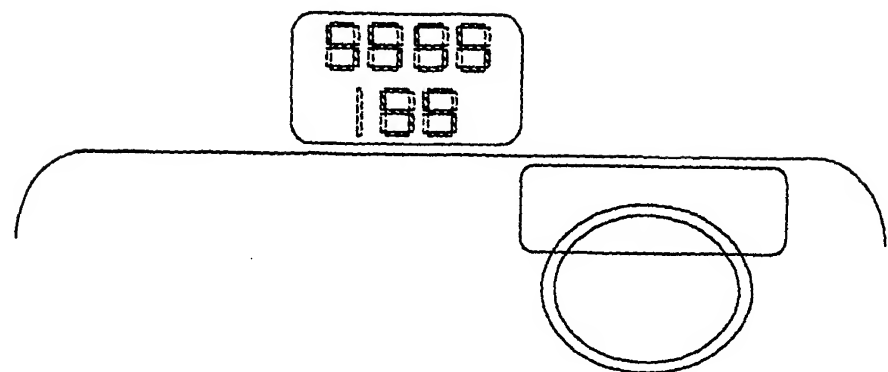


Fig. 27

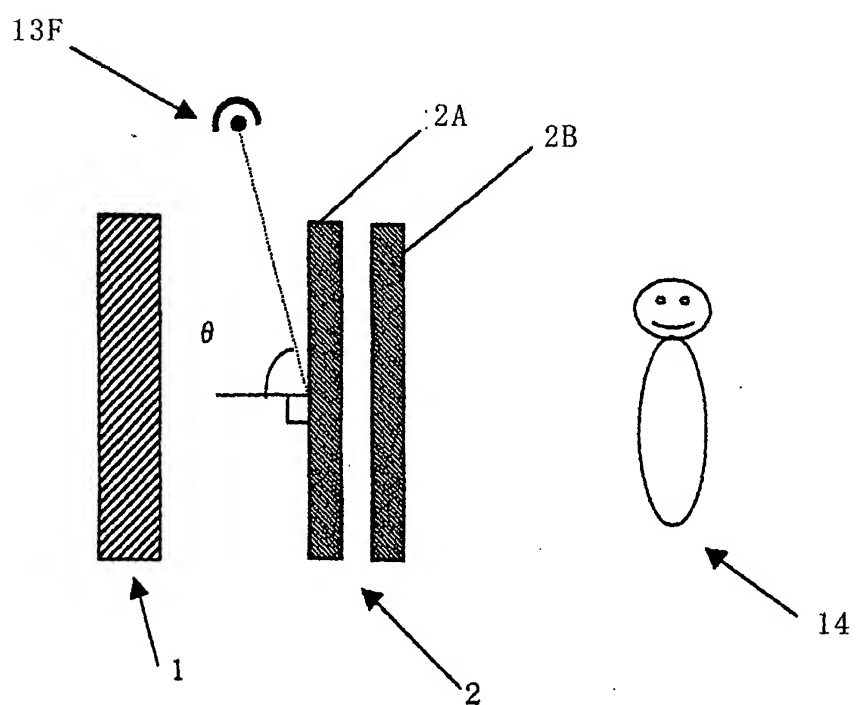


Fig. 28 (a)

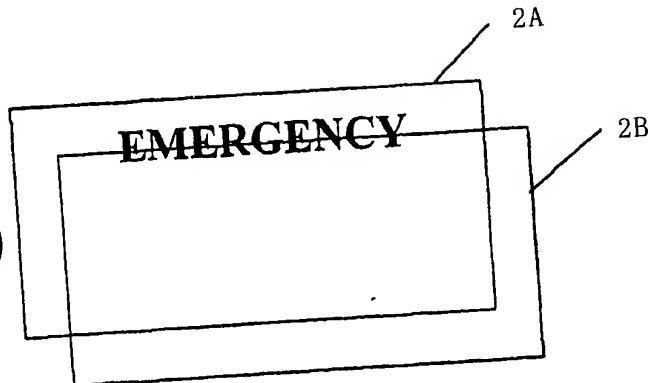


Fig. 28 (b)

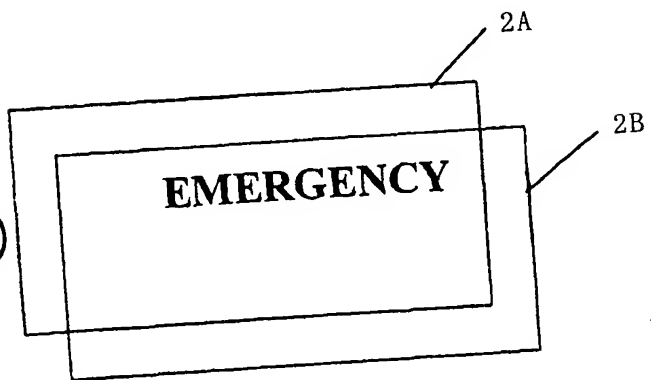


Fig. 28 (c)

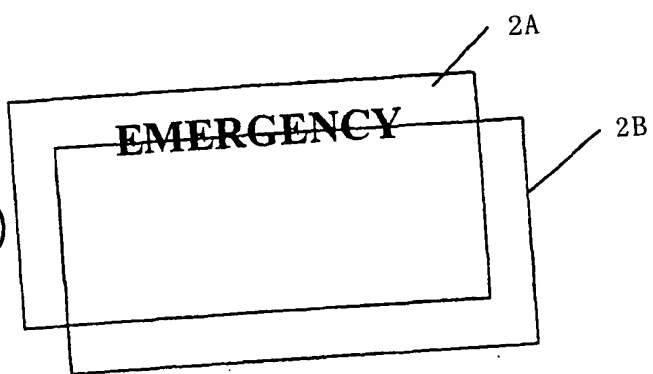


Fig. 29 (a)

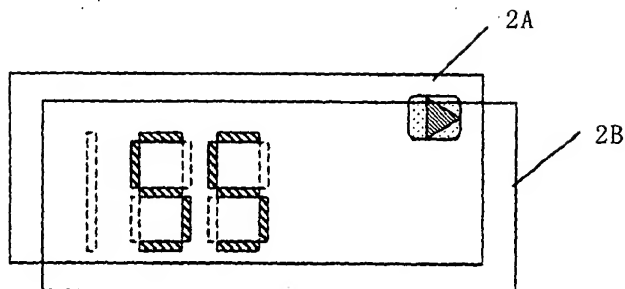


Fig. 29 (b)

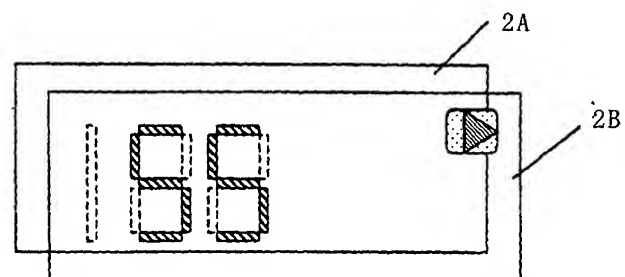


Fig. 29 (c)

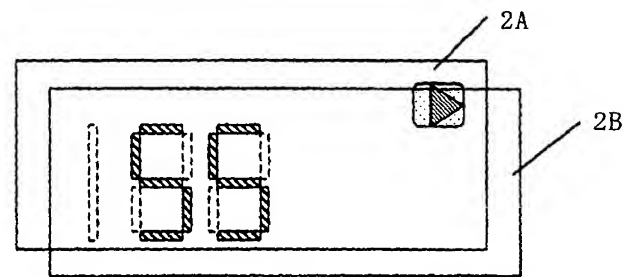


Fig. 30

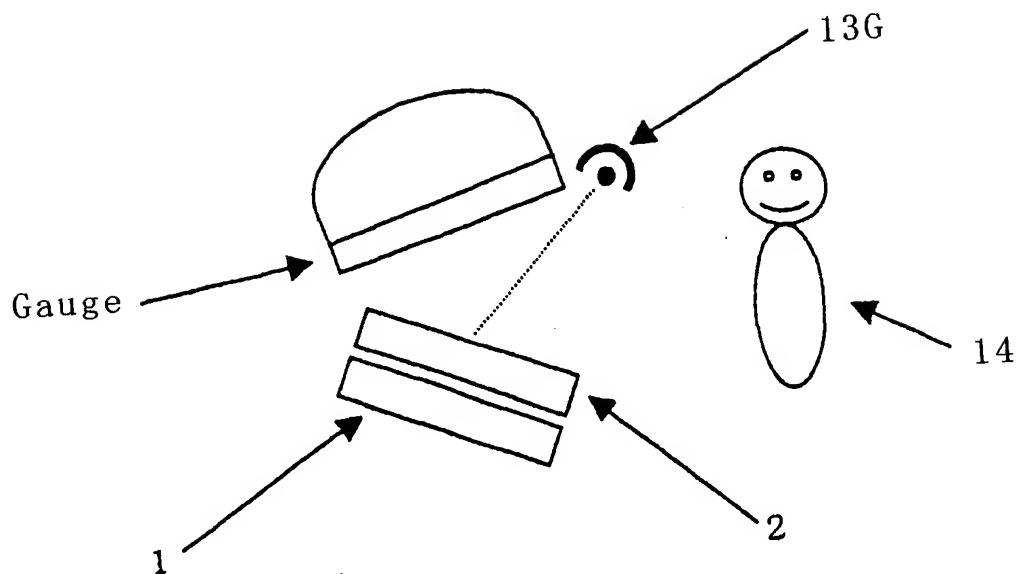
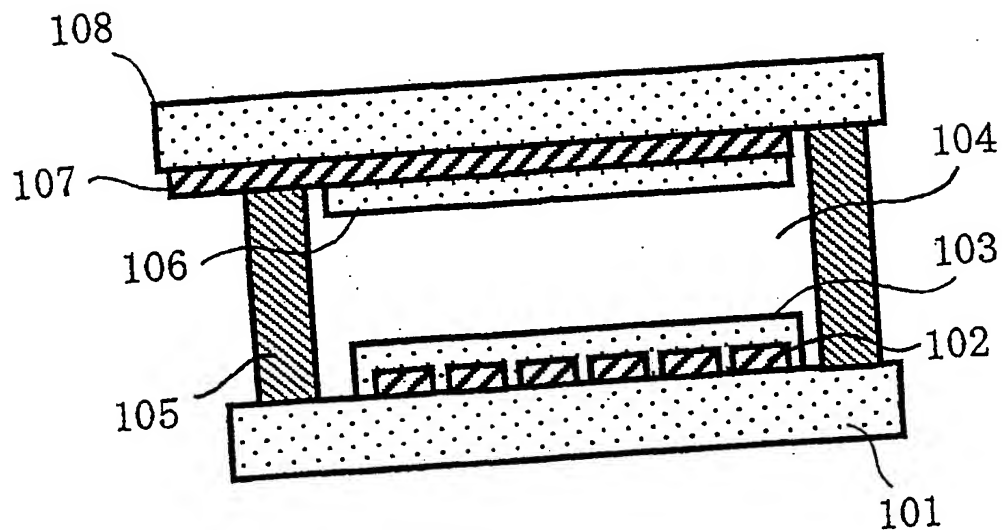


Fig. 31



OBLON, SPIVAK, ET AL  
DOCKET #: 242619US0  
INV: Masao OZEKI, et al.  
SHEET 25 OF 30

Fig. 32

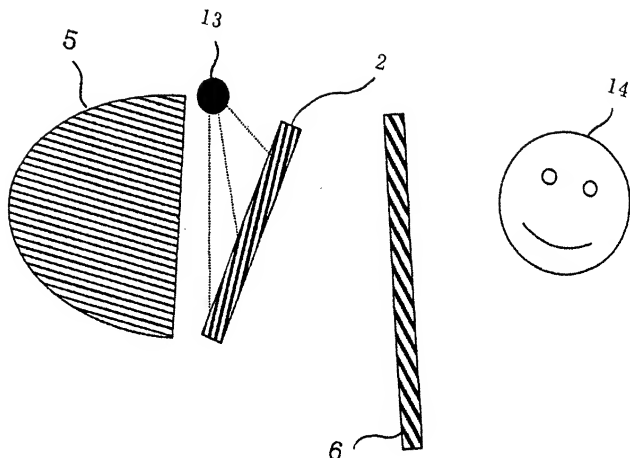


Fig. 33

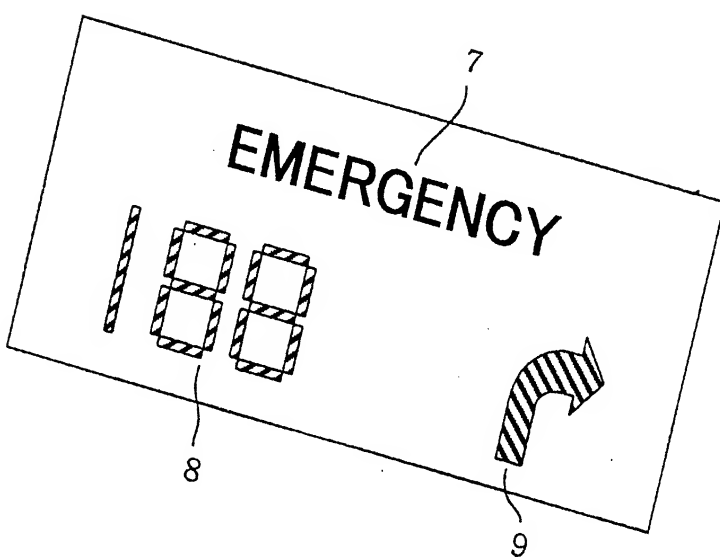


Fig. 34

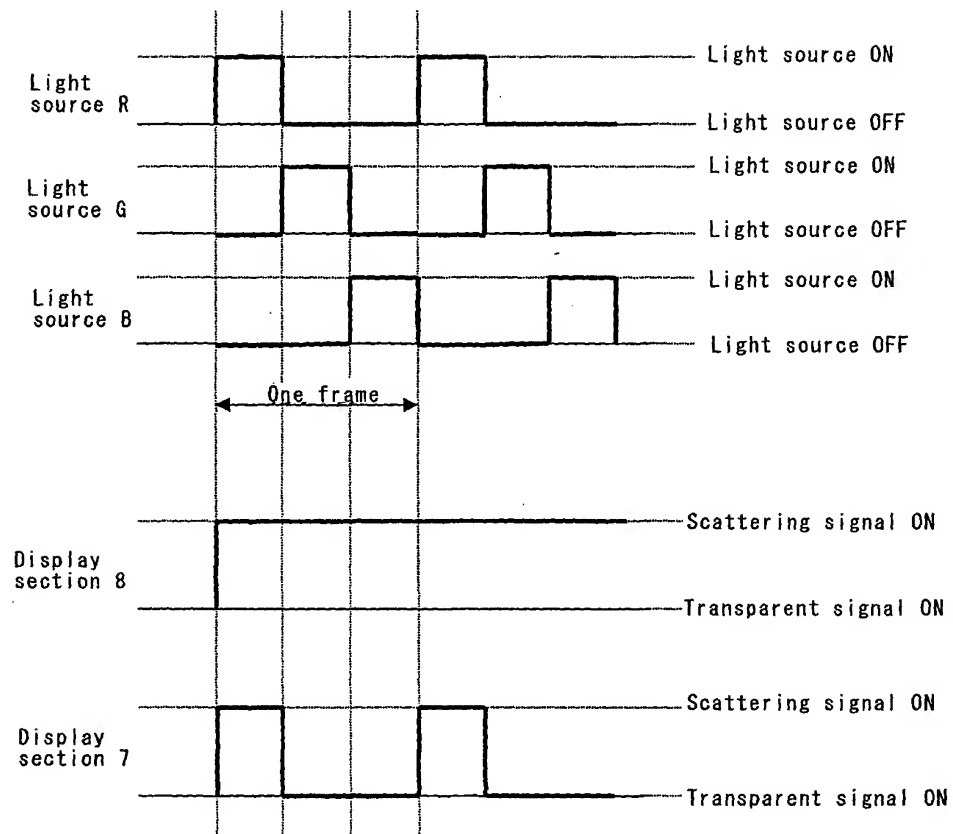


Fig. 35

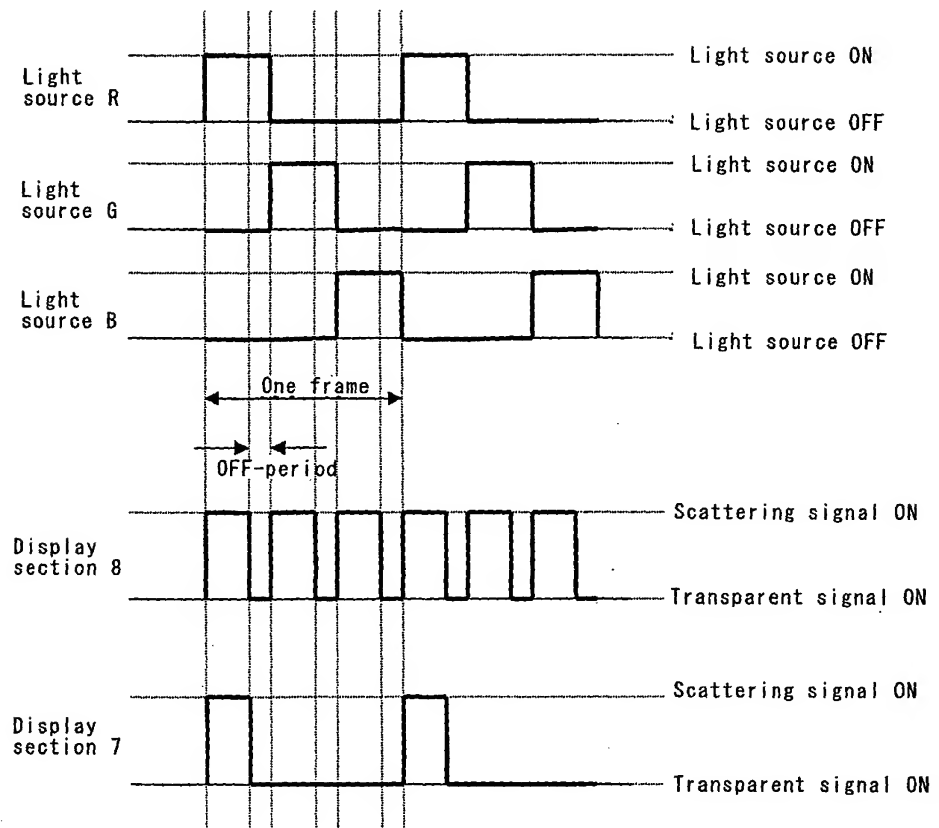


Fig. 36

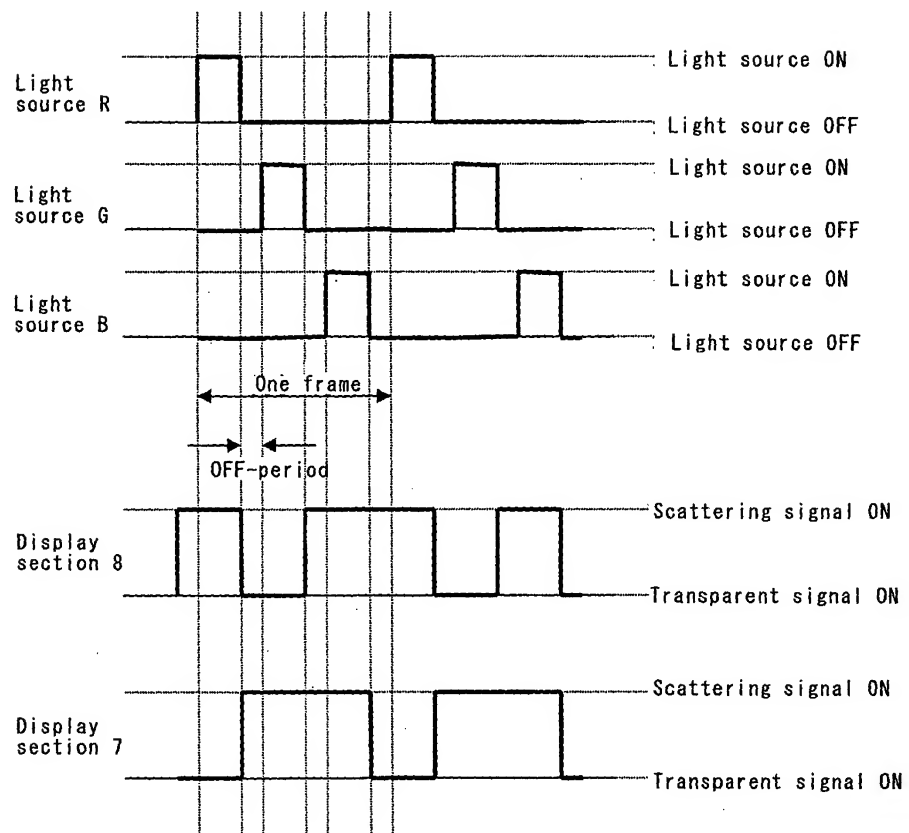


Fig. 37

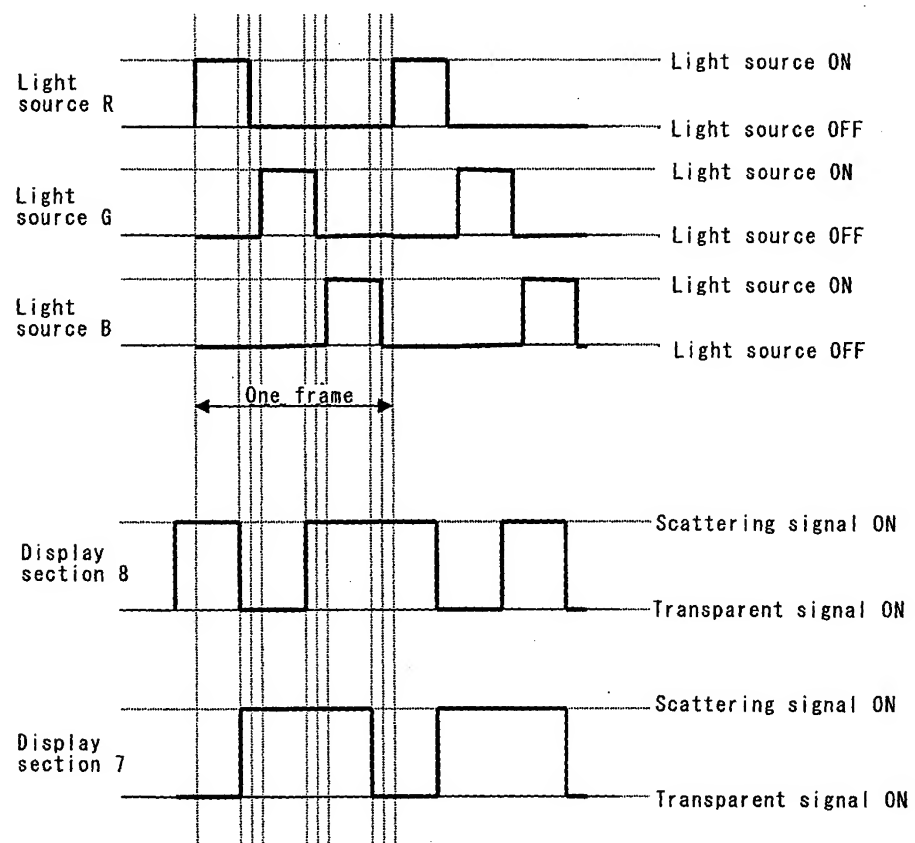


Fig. 38

